

---

## ПРОБЛЕМЫ ЯДЕРНОЙ, РАДИАЦИОННОЙ И ЭКОЛОГИЧЕСКОЙ БЕЗОПАСНОСТИ

---

УДК 502.175:628.4.047(075.8)

# ОЦЕНКА СПЕКТРОМЕТРИЧЕСКИХ И РАДИОМЕТРИЧЕСКИХ ХАРАКТЕРИСТИК АЛЬФА-ИЗЛУЧАЮЩИХ РАДИОНУКЛИДОВ ПЛУТОНИЯ И ИХ ВЛИЯНИЕ НА ВЕЛИЧИНУ АМАД

© 2018 Юсеф Набиль Хусейн, Д.А. Припачкин, А.К. Будыка

*Национальный исследовательский ядерный университет «МИФИ», Москва, Россия*

В статье предлагается рассмотреть использование новой экспериментальной установки для определения объемной активности и АМАД  $\alpha$ -активных радионуклидов. Предлагается провести оценку спектрометрических и радиометрических характеристик  $\alpha$ -излучающих радионуклидов плутония и определить их влияние на величину АМАД. Сравнить расчетные значения активности изотопов плутония в специальных аэрозольных источниках, полученные с помощью экспериментальной установки и установок МКС-01А, УМФ-2000. Оценить относительную ошибку определения АМАД с помощью экспериментальной установки.

**Ключевые слова:** радиоактивный аэрозоль, инерционный разделитель, эффективность осаждения, аэродинамический диаметр, АМАД, объемная активность, МКС-01А, УМФ-2000,  $\alpha$ -излучения.

Поступила в редакцию: 10.03.2018

### ВВЕДЕНИЕ

Радиационное воздействие  $\alpha$ -активных радионуклидов на организм человека реализуется в основном через дозу внутреннего облучения. Внешнее облучение от  $\alpha$ -активных радионуклидов незначительно из-за двух основных причин. Первое – пробег  $\alpha$ -частиц в воздухе, который составляет не более 10 см, второе – пробег частиц в биологических тканях (коже) не более 100 мкм. Поэтому наибольшую радиационную опасность для здоровья человека представляют радиоактивные аэрозольные частицы содержащие  $\alpha$ -активные радионуклиды поступающие внутрь организма через органы дыхания, которые в последствии могут быть причиной острых и хронических заболеваний.

Оценить дозу внутреннего облучения человека  $\alpha$ -активными радионуклидами можно в соответствии с Нормами Радиационной Безопасности (НРБ-99/2009) [1] или на основе Международных Стандартов Безопасности МАГАТЭ (BSS) [2]. Для расчета дозы внутреннего облучения необходимо определить величину объемной активности  $\alpha$ -активных радионуклидов в воздухе, умножить её на объем вдыхаемого воздуха и на соответствующий радионуклиду дозовый коэффициент [1], который зависит, в том числе и от активного медианного аэродинамического диаметра (АМАД).

Объемную активность радионуклидов во вдыхаемом воздухе оценивают на основе регулярных измерений активности радионуклидов, находящихся в воздухе рабочей зоны (для персонала) или в воздухе населенных пунктов (для населения). Для этого используют пробоотборные установки и методики выполнения измерений объемной активности (ОА)[3,4]. Методы определения ОА радионуклидов в воздухе

основаны на отборе пробы воздуха содержащего радиоактивные аэрозольные частицы на аналитические аэрозольные фильтры или каскадах импактора с последующим радиометрическим, спектрометрическим или иным измерением активности контролируемого радионуклида непосредственно на фильтрах или коллекторных пластинах.

Для определения АМАД радиоактивных аэрозолей используют или метод многослойных фильтров (ММФ) [5], или каскадные импакторы [6]. Аэрозольные частицы проходят через последовательно установленные разделители спектра по размерам, для ММФ это фильтры, для импактора – каскады. Такие устройства и методы расчёта АМАД используются в России в атомной промышленности и были утверждены в соответствующих Методических указаниях [7].

В соответствии с методиками определения объемной активности и АМАД отдельных радионуклидов требуется проведение радиометрических или спектрометрических измерений активности. Для этого разбирают пробоотборные устройства и извлекают фильтры или коллекторные пластины и в лабораторных условиях проводят измерения активности на радиометре или спектрометре.

В статье предлагается рассмотреть использование новой экспериментальной установки для определения объемной активности и АМАД  $\alpha$ -активных радионуклидов. Предлагается провести оценку спектрометрических и радиометрических характеристик  $\alpha$ -излучающих радионуклидов плутония и определить их влияние на величину АМАД. Сравнить расчетные значения активности изотопов плутония в специальных аэрозольных источниках, полученные с помощью экспериментальной установки и установок МКС-01А, УМФ-2000. Оценить относительную ошибку определения АМАД с помощью экспериментальной установки.

## МЕТОДЫ И УСТРОЙСТВА

В исследованиях использовали экспериментальную установку, состоящую из: разделительной части (1), камеры детектирования (2), фильтра (3), ротаметра (4) и насоса, соединенных системой трубопроводов (рис. 1).

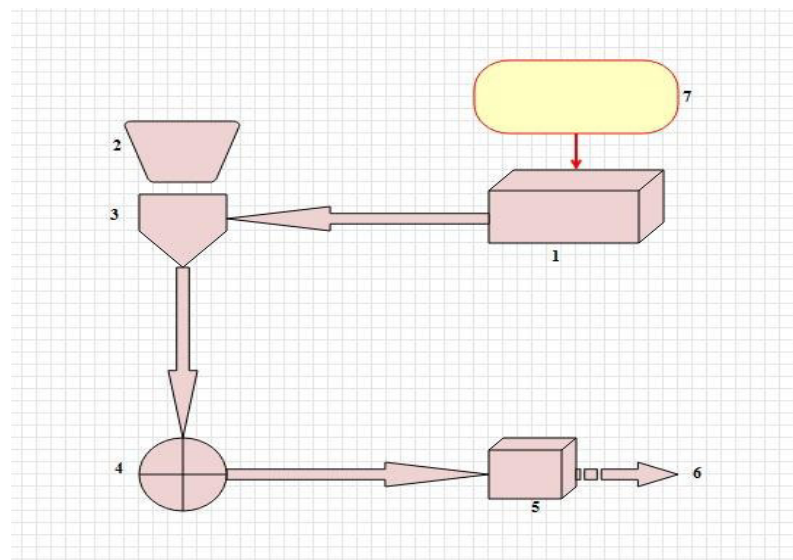
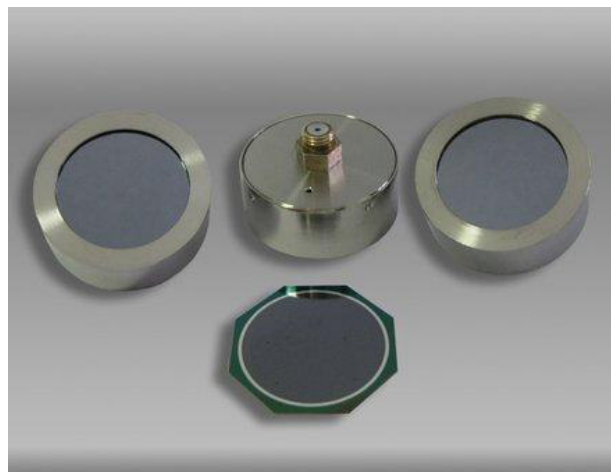


Рис. 1. – Схема экспериментальной установки [Experimental installation configuration]

Основной процесс разделение аэрозольных частиц на фракции происходит в разделительной части (1) с помощью инерционного разделителя. В качестве разделителя используется каскад импактора АИП-2 [8]. Часть аэрозольных частиц с аэродинамическим диаметром больше эффективного диаметра разделения (ECAD) [9] осаждается в разделителе, а оставшиеся частицы уносятся воздушным потоком в камеру детектирования, где происходит осаждение их на фильтр. После камеры детектирования воздушный поток проходит ротаметр, который контролирует расход на выходе из камеры детектирования. В камере детектирования установлен ионно-имплантированный кремниевый детектор (рис. 2), который для регистрации  $\alpha$  или  $\beta$ -частиц различных энергий. Эти детекторы имеют тонкое входное окно, обеспечивающее хорошее энергетическое разрешение даже при малых расстояниях альфа источника, а так же высокую эффективность регистрации  $\alpha$ -частиц.



**Рис. 2.** – Ионно-имплантированный кремниевый детектора,  $\beta$ -излучения  
[Ion-implanted silicon detector of  $\alpha$ ,  $\beta$ -radiation]

Установка спектрометрическая МКС-01А «МУЛЬТИРАД-АС» (рис. 3) предназначена для измерения активности и удельной активности  $\alpha$ -,  $\beta$ - и  $\gamma$ -излучающих нуклидов в специально приготовленных образцах продуктов питания, кормов для сельскохозяйственных животных, воды, воздуха, почвы, лесоматериалов, строительных материалов, а так же измерения мощности амбиентного эквивалента дозы и компарирования (поиска и сравнения) источников фотонного излучения с возможностью картирования точек измерения при подключении установки к GPS-приемнику. «МУЛЬТИРАД-АС» представляет собой лабораторное (в том числе, для передвижных лабораторий) оборудование с широким спектром возможностей и может применяться на предприятиях Минатома, Госсанэпиднадзора, МЧС, природоохранных предприятий различных ведомств.

Радиометр УМФ-2000 (рис.3) предназначен для измерения  $\alpha$ - и  $\beta$ -активности малых активностей природной и питьевой воды, пищевых продуктов, почвы и воздушной среды. Прибор УМФ-2000 внесен в реестр средств измерений Российской Федерации – №16297-03. Радиометр УМФ-2000 для измерения  $\alpha$ - и  $\beta$ -активности позволяет проводить измерения: суммарной активности  $\alpha$ -излучающих нуклидов в «толстых» и «тонких» счетных образцах проб объектов окружающей среды; суммарной активности  $\beta$ -излучающих нуклидов в счетных образцах проб пищевых продуктов, почвы, воды, на воздушных фильтрах и проб, полученных методами селективной радиохимической экстракции;  $\alpha$ -активности нуклидов в счетных образцах, полученных после селективной радиохимической экстракции.



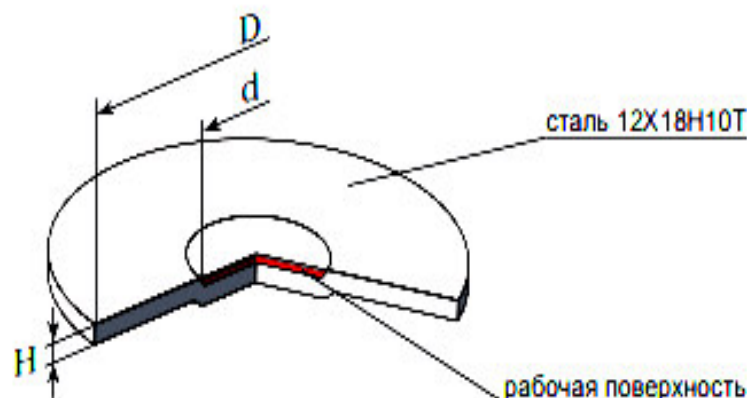
**Рис. 3.** – Установки MKS-01A (слева) и UMF-2000 (справа) [Installations MKS-01A (left) AND UMF-2000 (right)]

В исследовании использовали специальные аэрозольные источники (САИ)  $\alpha$ -излучения на основе фильтра АФА-РСП-20с активностью  $1.19 \cdot 10^2$  Бк и  $1.12 \cdot 10^2$  Бк по радионуклидам  $^{239}\text{Pu}$  и  $^{238}\text{Pu}$  предназначенных для воспроизведения единицы объемной активности радионуклидов. (рис. 4) Относительная погрешность измерения активности (при доверительной вероятности  $P=0,95$ ) не более 5 %.



**Рис. 4.** – Общий вид САИ на основе фильтра АФА-РСП-20 [General view of special aerosol sources based on the AFA-RSP-20 filter]

Кроме САИ был использован источник «типа 1П9» с активностью 80.7 Бк по радионуклидам  $^{239}\text{Pu}$  и  $^{238}\text{Pu}$  (рис. 5). Источник «типа 1П9» представляет собой подложку толщиной 1,1 мм, на рабочую поверхность которой (углубление) нанесен слой радиоактивного препарата, защищенный пленкой окисла металла. Измеренные значения активности радионуклидов в источнике не отличаются от номинальных более чем на 30%.



**Рис. 5.** – Источник тип 1П9 [Source type 1P9]

## РЕЗУЛЬТАТЫ ИЗМЕРЕНИЙ И РАСЧЕТОВ

На экспериментальной установке были исследованы спектры  $\alpha$ -излучения, определена эффективность регистрации и рассчитана активность для источника «тип 1П9» на основе  $^{239}\text{Pu}$  с активностью 80.7 Бк и специальных аэрозольных источников  $\alpha$ -излучения (САИ) на основе  $^{239}\text{Pu}$  с активностью 119 и 112 Бк. По эффективности регистрации  $\alpha$ -частиц результаты исследований сравнивали с измерениями тех же источников на  $\alpha$ -спектрометре МКС-01А в ФМБЦ им. А.И. Бурназяна и установке УМФ-2000 в НИЯУ МИФИ. По исследованию спектров  $\alpha$ -излучения сравнивали только с МКС-01А.

Эффективность регистрации  $\alpha$ -частиц определяли по формуле:

$$E = \frac{N}{A \cdot t}$$

где  $N$  – общее число импульсов (распадов);

$t$  – время набора спектра, сек;

$A$  – активность источника по паспорту, Бк.

В таблице 1 представлены результаты оценки эффективности регистрации для источника «тип 1П9» на трех установках: экспериментальной, МКС-01А и УМФ-2000. В установке УМФ-2000 источник расположен практически вплотную к детектору на расстоянии 1 мм. В экспериментальной установке расстояние между источником и детектором около 10 мм, в МКС-01А измерения проводили на расстоянии 45 мм от источника.

**Таблица 1.** – Оценка эффективности регистрации  $\alpha$ -частиц для источника «тип 1П9»  
[Efficiency estimation of  $\alpha$  particle registration for a "1P9" source]

Название	Среднее за 10 измерений число импульсов	Длительность измерений, сек	Эффективность регистрации
УМФ-2000	7131	300	$0.295 \pm 0.01$
МКС-01А	7881	6972	$0.014 \pm 0.001$
Эксп. установка	4481	3600	$0.015 \pm 0.001$

**Таблица 2.** – Оценка эффективности регистрации  $\alpha$ -частиц для САИ (119 Бк)  
[Efficiency estimation of  $\alpha$  particle registration for special aerosol sources (119 Bq)]

Название	Среднее за 10 измерений число импульсов	Длительность измерений, сек	Эффективность регистрации
УМФ-2000	8500	300	$0.238 \pm 0.01$
МКС-01А	17866	7766	$0.019 \pm 0.001$
Эксп. установка	5657	3600	$0.013 \pm 0.001$

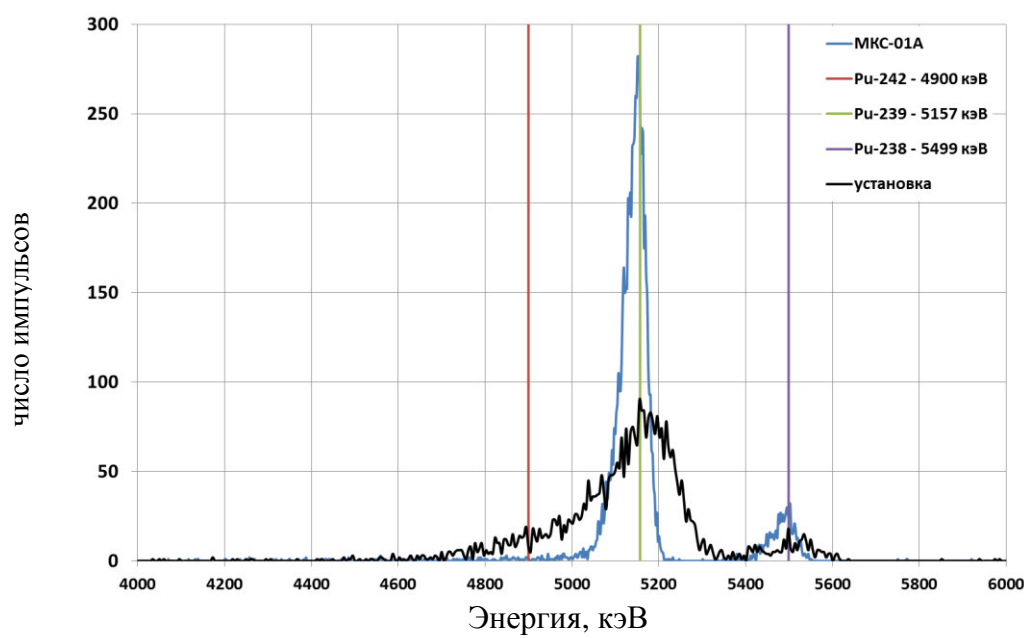
**Таблица 3.** – Оценка эффективности регистрации  $\alpha$ -частиц для САИ (112 Бк)  
 [Efficiency estimation of  $\alpha$  particle registration for special aerosol sources  
 (112 Bq)]

Название	Среднее за 10 измерений число импульсов	Длительность измерений, сек	Эффективность регистрации
УМФ-2000	7841	300	$0.233 \pm 0.01$
МКС-01А	47702	22753	$0.019 \pm 0.001$
Эксп. установка	5049	3600	$0.013 \pm 0.001$

Из таблиц 1–3 следует, что эффективность регистрации  $\alpha$ -частиц на установке МКС-01А и экспериментальной установке совпадают в пределах погрешности. Установка УМФ-2000 имеет эффективность регистрации на порядок выше, чем у остальных, это связано с геометрией взаимного расположения источника и детектора.

Кроме оценки эффективности регистрации были проведены исследования спектров  $\alpha$ -частиц. На рисунках 4–6 представлены спектры для источника «тип 1П9» и САИ  $\alpha$ -излучения. На установке МКС-01А была проведена энергетическая калибровка по источнику известного состава, содержащему три энергетические линии радионуклидов  $^{242}\text{Pu}$  (4900 кэВ),  $^{239}\text{Pu}$  (5157 кэВ),  $^{238}\text{Pu}$  (5499 кэВ). На экспериментальной установке энергетическую калибровку спектра проводили по источнику «тип 1П9». На рисунках 4–6 эти энергии показаны вертикальными линиями.

Из рисунков 4–6 следует, что энергетические спектры, полученные на экспериментальной установке, позволяют идентифицировать радионуклиды  $^{239}\text{Pu}$  и  $^{238}\text{Pu}$  в составе САИ по соответствующим энергетическим линиям 5157 и 5499 кэВ.



**Рис. 4.** – Спектр источника «тип 1П9» [Spectrum of the source "1P9 type "]

Источник «тип 1П9» имеет более четко выраженные энергетические линии 5157 и 5499 кэВ, чем САИ. Это связано с тем, что в САИ аэрозольные частицы, осевшие на фильтре распределены не только по фронтальной поверхности фильтра, но и в глубину фильтра, что приводит к размытию спектра  $\alpha$ -частиц, при их регистрации кремневым детектором. В источнике «тип 1П9» радиоактивное вещество, содержащее  $^{239}\text{Pu}$  и  $^{238}\text{Pu}$ ,

сосредоточено в виде точечного источника на металлической подложке, поэтому дополнительные потери энергии  $\alpha$ -частиц при выходе из источника были меньше, чем у САИ. Соотношение импульсов в канале с энергией 5157 кэВ между экспериментальной установкой и МКС-01А для источника «тип 1П9» составило 1:3, а для САИ (119 Бк) и (112 Бк) 1:5 и 1:15, соответственно.

В таблицах 4 и 5 представлены оценки активности  $^{239}\text{Pu}$  и  $^{238}\text{Pu}$  с перекрестным использованием САИ для оценки эффективности регистрации и энергетической калибровки, на экспериментальной установке и МКС-01А. Активность  $^{239}\text{Pu}$  определяли по числу импульсов в диапазоне от 4000 до 5230 кэВ, а  $^{238}\text{Pu}$  в диапазоне от 5230 до 5800 кэВ. В таблице 6 представлены оценки суммарной активности  $^{239}\text{Pu}$  и  $^{238}\text{Pu}$  с перекрестным использованием для оценки эффективности регистрации САИ на установке УМФ-2000.

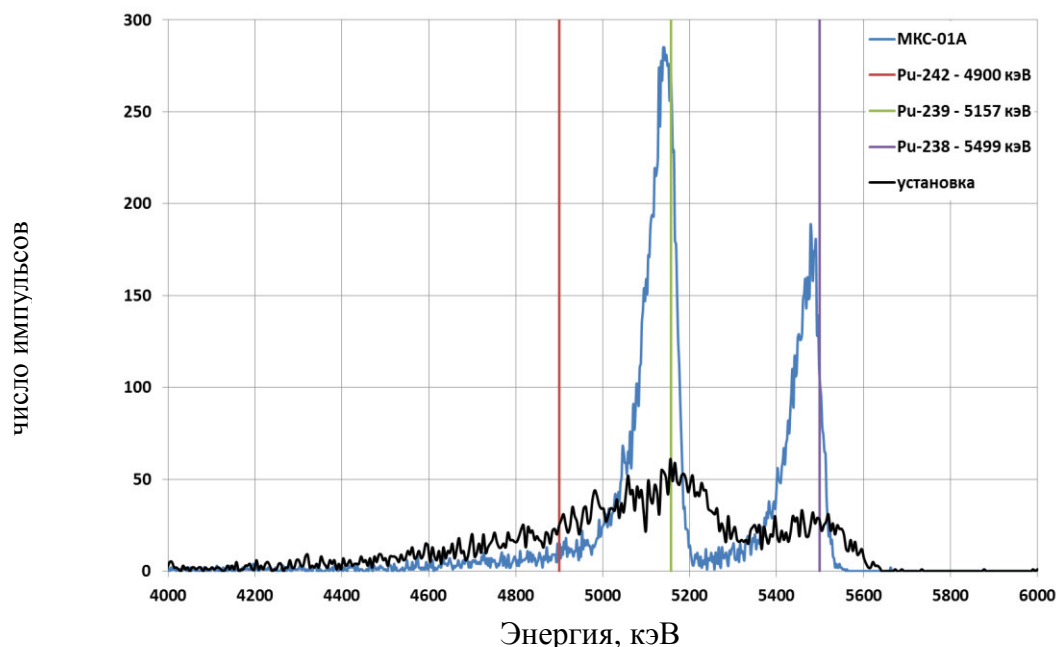


Рис. 5. – Спектр источника САИ (119 Бк) [Spectrum of the special aerosol sources (119 Bq)]

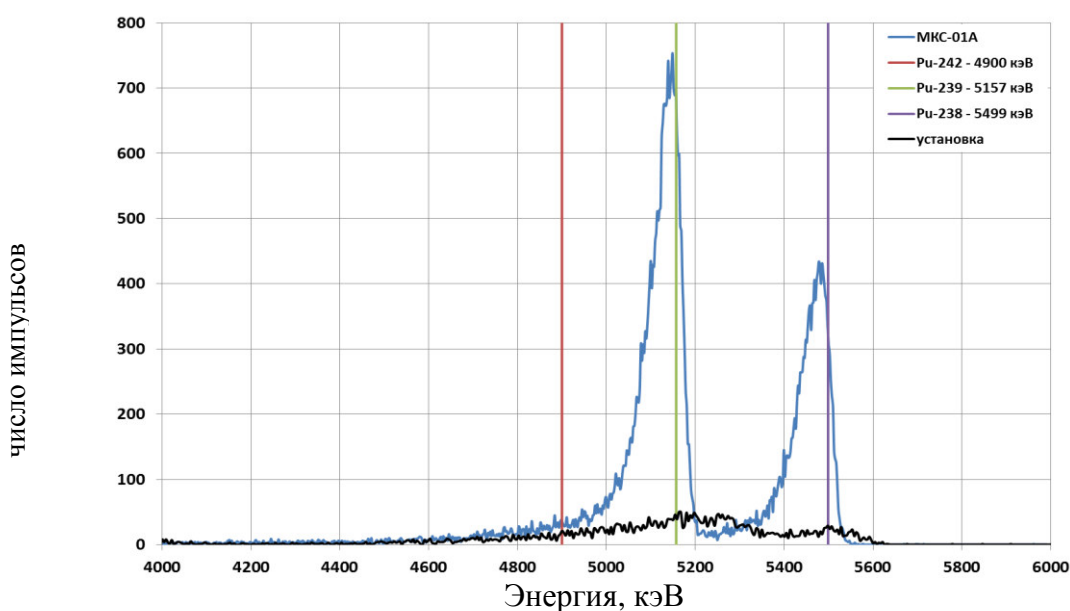


Рис. 6. – Спектр источника САИ (112 Бк) [Spectrum of the special aerosol sources (112 Bq)]

**Таблица 4.** – Активность  $^{239}\text{Pu}$  и  $^{238}\text{Pu}$  (Экспериментальная установка) [Activity of  $^{239}\text{Pu}$  and  $^{238}\text{Pu}$  (Experimental installation)]

Калибровочный источник	Активность, Бк			
	Pu-239	Pu-238	Суммарная (расчетная)	По паспорту
САИ (112)	86.1	34.8	120.9	119±6
САИ (119)	67.1	40.8	107.9	112±5

**Таблица 5.** – Активность  $^{239}\text{Pu}$  и  $^{238}\text{Pu}$  (МКС-01А) [Activity of  $^{239}\text{Pu}$  and  $^{238}\text{Pu}$  (MSK-01A)]

Калибровочный источник	Активность, Бк			
	Pu-239	Pu-238	Суммарная (расчетная)	По паспорту
САИ (112)	78.7	42.3	121	119±6
САИ (119)	72.3	38.0	110.3	112±5

**Таблица 6.** – Суммарная активность  $^{239}\text{Pu} + ^{238}\text{Pu}$  (УМФ-2000) [Total activity of  $^{239}\text{Pu} + ^{238}\text{Pu}$  (UMF-2000)]

Калибровочный источник	Суммарная (расчетная)	По паспорту
САИ (112)	121.6	119±6
САИ (119)	109.8	112±5

Если использовать САИ в качестве эталонного источника для оценки эффективности регистрации и энергетической калибровки детектора в составе экспериментальной установки, то относительная ошибка определения суммарной активности  $^{239}\text{Pu}$  и  $^{238}\text{Pu}$  не будет превышать 5 %. А в случае с перекрестным использованием САИ, для определения активности отдельных радионуклидов, относительная ошибка не будет превышать 20 %.

Для оценки величины АМАД и СГО, с помощью экспериментальной установки, применяется метод определения дисперсного состава радиоактивных аэрозолей на основе инерционных разделителей [10]. При реализации метода используются расчетные значения активности радионуклида, соответствующие фиксированным ECAD. Если учитывать, что относительная ошибка определения активности  $^{239}\text{Pu}$  и  $^{238}\text{Pu}$  помошью экспериментальной установки не более 20 %, то можно определить ошибку рассчитываемых значений АМАД и СГО.

Для этого распределение активности  $^{239}\text{Pu}$  с характеристиками дисперсного состава АМАД=1 мкм и СГО=2.5, было разделено на части в соответствии с ECAD (23, 9, 5.8, 3.3 и 1.1 мкм). Активность каждой части распределения отклоняли случайным образом на 20 % от исходных значений, соответствующих распределению АМАД=1 мкм и СГО=2.5. Для получения распределений АМАД и СГО было проведено  $10^5$  численных расчетов.

На рисунке 7 представлено, распределение значений АМАД и СГО при относительной ошибке оценки активности 20 %. Из рисунка 7 следует, что разброс значений АМАД не более 0,43 мкм, а СГО не более 0,4. При этом относительная ошибка оценки АМАД и СГО методом [10] не превышает 22 % и 8 %, соответственно.

Согласно данным, приведенным в Публикации 68 МКРЗ[11], дозовый

коэффициент изменяется в 2-3 раза для  $\alpha$ -излучающих нуклидов при изменении величины АМАД в пределах двух порядков. Поэтому относительная ошибка АМАД, полученная при численном моделировании не будет существенно сказываться на значении дозового коэффициента для  $^{239}\text{Pu}$ .

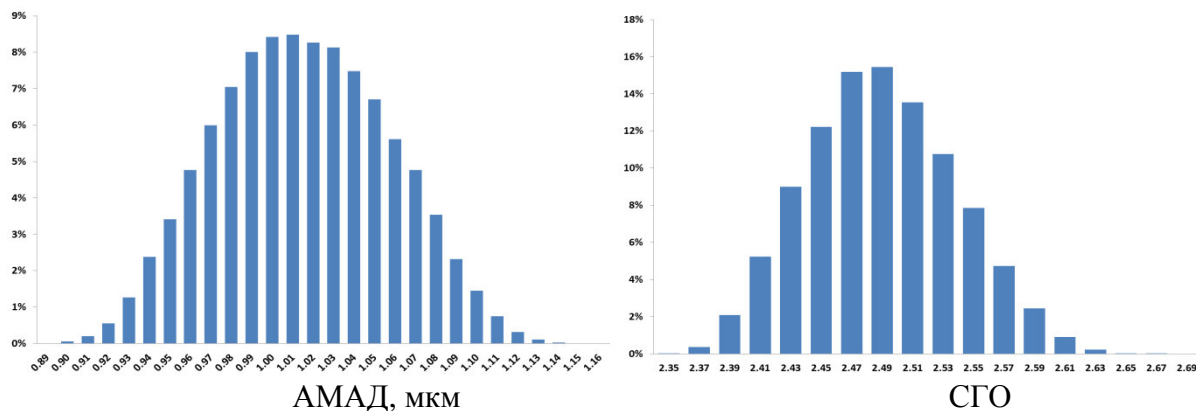


Рис. 7. – Распределение АМАД и СГО при случайном изменении активности  $^{239}\text{Pu}$  на 20 % [The distribution of AMAD and SGO with a random change in the activity of  $^{239}\text{Pu}$  by 20%]

## ЗАКЛЮЧЕНИЕ

Исследования показали, что использование разработанной экспериментальной установки для отбора проб радиоактивных аэрозолей и последующей радиометрии и спектрометрии проб с помощью кремневого детектора, позволяет оценить суммарную активность  $\alpha$ -излучающих радионуклидов  $^{239}\text{Pu}$  и  $^{238}\text{Pu}$  в составе источников «тип 1П9» и САИ с относительной ошибкой около 5 %. Оценка активности отдельных нуклидов была выполнена на основе суммирования импульсов в определенных энергетических диапазонах. Для рассмотренной комбинации радионуклидов относительная ошибка оценки активности не превышала 20 %.

Однако необходимо отметить, что другие комбинации  $\alpha$ -излучающих радионуклидов, могут давать большую ошибку при оценке активности отдельных радионуклидов. При этом, чем больше количество радионуклидов в пробе, тем больше будет ошибка в оценке активности отдельных радионуклидов на экспериментальной установке. Тем не менее, в случаях измерений одного или двух радионуклидов имеющих энергетические линии, разнесенные на сотни кэВ оценить активность можно с приемлемой ошибкой.

Численное моделирование показало, что если ошибка в оценке активности  $^{239}\text{Pu}$ , соответствующих фракций аэрозольных частиц не превышает 20 %, тогда ошибка при расчете дисперсных характеристик всего спектра радиоактивных аэрозольных частиц содержащих  $^{239}\text{Pu}$  не будет превышать для АМАД - 22 % и СГО - 8 %. Согласно [7], полученные оценки ошибки АМАД, для рассмотренной комбинации  $\alpha$ -излучающих радионуклидов  $^{239}\text{Pu}$  и  $^{238}\text{Pu}$  считаются приемлемыми (не превышают 30%) и могут использоваться при оценках дозы внутреннего облучения при ингаляционном поступлении  $\alpha$ -излучающих нуклидов плутония в организм человека.

## СПИСОК ЛИТЕРАТУРЫ

- Нормы радиационной безопасности (НРБ-99/2009). Сан Пин 2.6.1.2523-09 [Текст]. – М.: Минздрав России, 2009. – 93 с.
- IAEA Safety Standards for protecting people and the environment. Radiation protection and safety of radiation sources: International basic safety standards: General safety requirements.

- Part 3. No.GSR Part 3, Vienna, 2014.
3. Коузов, П.А. Основы анализа дисперсного состава промышленных пылей и измельченных материалов [Текст] / П.А. Коузов: Изд. 3-е, перераб. – Л.: «Химия», 1987.
  4. МУ 2.6.5.009-2016 Объемная активность радионуклидов в воздухе на рабочих местах. Требования к определению величины среднегодовой активности [Текст]. – М.: ФМБА России, 2016. – 20 с.
  5. Будыка, А.К. Развитие основ метода многослойных фильтров для дисперсного анализа реакторных аэрозолей [Текст] / А.К. Будыка : автореф. ... дисс. к.-ф.-м.н. – М.: МИФИ, 1986.
  6. Припачкин, Д.А. и др. Экспериментальное исследование дисперсного состава аэрозолей методом многослойных фильтров и каскадным устройством [Текст] / Д.А. Припачкин, А.К. Будыка, В.О. Хмелевский, А.И. Ризин // Атомная энергия. – 2013. – Т. 115. – Вып. 3. – Март. – С. 174–177.
  7. МУК 2.6.1.08 – 2004 Определение характеристик распределения радиоактивного аэрозоля по размерам [Текст]. – М.: ФМБА России, 2004. – 19 с.
  8. Патент RU 2239815 С1 от 10.11. 2004: Цовьянов А.Г., Бадын В.И., Молоканов А.А., Припачкин Д.А., Фертман Д.Е., Ризин А.И. и др. – М., 2004.
  9. Райст, П. Аэрозоли, введение в теорию [Текст] / П. Райст. – М.: Мир, 1987. – 278 с.
  10. Припачкин, Д.А. и др. Метод определения дисперсного состава радиоактивных аэрозолей на основе инерционных разделителей [Текст] / Д.А. Припачкин, А.К. Будыка, Ю.Н. Хусейн, А.Е. Карев, А.Г. Цовьянов // АНРИ. – 2016. – № 3(86). – С. 57–63.
  11. ICRP, 1994. Dose Coefficients for Intakes of Radionuclides by Workers. ICRP Publication 68. Ann. ICRP 24(4).

#### REFERENCES

- [1] Normi Radiatcynnoi Bezopasnosti [Radiation Safety Standards] (NRB-99/2009). SanPin 2.6.1.2523-09. M, 2009, 93 pp. (in Russian)
- [2] IAEA Safety Standards for protecting people and the environment. Radiation protection and safety of radiation sources: International basic safety standards: General safety requirements Part 3. No. GSR Part 3, Vienna, 2014. (in English)
- [3] Kozov P.A. Osnovi analiz dispersnogo sostava promeshlienyh piley i izmelchenih materialov [Fundamentals of Analysis of the Disperse Composition of Industrial Dusts and Crushed Materials]. Leningrad. 1987. (in Russian)
- [4] MY 2.6.5009-2016 Obyomnaya aktivnost radionukleda v vozduhe na rabochih mestah [Volumetric Activity of Radionuclides in the Air at the Workplace]. Trebovania k opredelenyu velicheniy srednegodovoy aktivnosti [Requirements for determining the average annual activity]. M. 2016, p. 20. (in Russian)
- [5] Budyka A.K. Razvitie osnov metoda mnogosloynyh filtrov dlya dispersnogo analiza reaktornyh aerozoley [Development of the Basis of the Multilayer Filter Method for Disperse Analysis of Reactor Aerosols]. M. 1986. (in Russian)
- [6] Priplachkin D.A., Bydika A.K., Khmelevsky V.O., Rizin A.I. Expermintalnye issledivaniya dispersnogo sostava aerozoley metodom mnogoslaynyh filtrov i kaskadnym ustroystvom [Experimental Study of the Disperse Composition of Aerosols by the Method of Multilayer Filters and a Cascade Device]. Atomnaya energiya [Atomic Energy], 2013, Vol.115, Issue 3, March, pp. 174–177. (in Russian)
- [7] MKY 2.6.1.08–2004 Opredelenia kharakteristik raspredelenya radioaktivnogo aerozolya po razmeram [Determination of the Characteristics of the Radioactive Aerosol Distribution by Size]. M. 2004, p 19. (in Russian)
- [8] Patent RU 2239815 С1 от 10.11. 2004. Tcovenof A.G., Badian B.U., Molokanof A.A. etc. (in Russian)
- [9] Raist. P. Airozoli, vvedeniye v teoriyu [Aerosols, an Introduction to the Theory]. M. 1987, p 278. (in Russian)
- [10] Priplachkin D.A., Budyka A.K., Husein Yu.N., Karev A.E., Covyanov A.G. Metod opredeleniya dispersnogo sostava radioaktivnyh aerozolej na osnove inercionnyh razdelitelej [Determination Method of Aerosol Radioactive Particles Size Based on Used the Inertial Separators]. ANRI, № 3(86), pp. 57 – 63. (in Russian)
- [11] ICRP, 1994. Dose Coefficients for Intakes of Radionuclides by Workers. ICRP Publication 68. Ann. ICRP 24(4). (in English)

**Estimation of Spectrometric and Radiometric Characteristics of Alpha-Emitting Radionuclides of Plutonium and their Influence on AMAD**

**Youesf N. Husein<sup>\*</sup>, D.A. Pripachkin<sup>\*\*</sup>, A.K. Budyka<sup>\*\*\*</sup>**

*National Research Nuclear University «MEPhI»,  
Kashirskoye shosse, 31, Moscow, Russia 115409*

<sup>\*</sup>*ORCID: 0000-0002-1247-054X  
WoS Researcher ID: B-7515-2017  
E-mail: yousefhusein@yahoo.com;*

<sup>\*\*</sup>*ORCID: 0000-0002-5672-1515  
WoS Researcher ID: M-0730-2010  
E-mail: dmrwer@mail.ru;*

<sup>\*\*\*</sup>*ORCID: 0000-0001-8314-842X  
WoS Researcher ID: G-1786-2013  
E-mail: AKBudyka@rosatom.ru*

**Abstract** – This article is proposed to consider using a new experimental stand for determining the volumetric activity and AMAD of  $\alpha$ -particles. It is proposed to evaluate the spectrometric and radiometric characteristics of the  $\alpha$ -emitting Radionuclides plutonium and to determine their influence on the value of AMAD. The work compares the calculated values of the activity of plutonium isotopes in a special aerosol sources, obtained using the experimental stand and others such as MKS-01A and UMF-2000. The paper estimates the relative error in the determination of AMAD using experimental stand.

**Keywords:** radioactive aerosol, inertial separator, deposition efficiency, aerodynamic diameter, AMAD, volume activity, MKS-01A, UMF-2000,  $\alpha$ -radiation.